

УДК 550.388.2

© 1992 г. В.В. Афонин, М.Г. Деминов, А.Т. Карпачев,  
Н.П. Бенькова, А.С. Беспрозванная, Л.В. Шестакова,  
Я. Шмилайэр, Т.И. Щука

**ДОЛГОТНЫЕ ВАРИАЦИИ ПОЛОЖЕНИЯ ГЛАВНОГО  
ИОНОСФЕРНОГО ПРОВАЛА ДЛЯ НОЧНЫХ ЗИМНИХ УСЛОВИЙ  
ПО ДАННЫМ ИСЗ "КОСМОС-900" И "ИНТЕРКОСМОС-19"**

На основе анализа массива данных ИСЗ "Космос-900" ( $\sim 700$  случаев) и "Интеркосмос-19" ( $\sim 250$  случаев), полученных для ночных условий местной зимой для северного и южного полушарий периода высокой солнечной активности, показана устойчивость характера долготных изменений инвариантной широты минимума главного ионосферного провала  $\Phi_{\text{пп}}(h)$  как на высоте максимума  $F2$ -слоя  $h = h_m F2$ , так и на фиксированной высоте  $h = h_0 \approx 450$  км. Обнаружено, что основные гармоники и фазы долготных вариаций  $\Phi_{\text{пп}}(h_m)$  и  $\Phi_{\text{пп}}(h_0)$  практически совпадают, а амплитуда этих вариаций уменьшается примерно в 1,5 раза при переходе от  $h_m$  к  $h_0$ ; с ростом высоты практически на всех долготах происходит смещение  $\Phi_{\text{пп}}$  к полюсу и среднее значение  $\Phi_{\text{пп}}(h_m) - \Phi_{\text{пп}}(h_0) = -2^\circ \Phi$ .

**Введение.** По данным ИСЗ долготные изменения инвариантной широты минимума провала  $\Phi_{\text{пп}}$  для ночных условий анализировались авторами работ [1–3]. При этом в работе [1] проведено усреднение данных по долготным интервалам, что существенно занизило амплитуду эффекта [2], а приведенные в [2, 3] результаты основаны на данных всего лишь нескольких сеансов измерений (каждый сеанс соответствует примерно 10 последовательным пересечениям главного ионосферного провала (ГИП)). Кроме того, в этих двух сериях наблюдений получалась разная информация:  $\Phi_{\text{пп}}(h_m)$  – положение минимума ГИП на высоте максимума  $F2$ -слоя  $h_m$ , определенное по критической частоте  $F2$ -слоя  $f_0 F2$  с помощью станции внешнего зондирования на ИСЗ "Интеркосмос-19" (ИК-19) [2];  $\Phi_{\text{пп}}(h_0)$  – положение минимума ГИП на почти фиксированной высоте  $h_0 \sim 450$  км, определенное по электронной концентрации с помощью трехэлектродной ионной ловушки с плавающим потенциалом на ИСЗ "Космос-900" [3]. Поэтому вопросы устойчивости характера долготных изменений  $\Phi_{\text{пп}}$ , наличия или отсутствия систематической разницы между долготными изменениями  $\Phi_{\text{пп}}(h_m)$  и  $\Phi_{\text{пп}}(h_0)$  остаются открытыми. Данная работа посвящена решению этих вопросов на основе однородных статистических данных о  $\Phi_{\text{пп}}(h_m)$  и  $\Phi_{\text{пп}}(h_0)$  для ночных зимних условий периода высокой солнечной активности, полученных с ИСЗ "Космос-900" и "ИК-19".

**Данные.** Для анализа использованы данные, полученные в интервале 18–06 LT местной зимой для спокойных и умеренно-возмущенных условий, т.е. все сильные бури из рассмотрения исключались. Данные ИСЗ "Космос-900" и "ИК-19" относятся к периоду высокой солнечной активности 1978–80 гг. Высота ИСЗ "Космос-900" соответствовала интервалу 430–460 км и, следовательно, можно принять, что  $h_0 = 450$  км. Поскольку нас интересует устойчивость характера долготных изменений  $\Phi_{\text{пп}}(h_0)$ , то используемые при обработке данные ИСЗ "Космос-900" включали и те случаи, когда днище провала было широким и плоским ( $\Phi_{\text{пп}}(h_0)$  определялось по середине днища) или когда флуктуации электронной концентрации  $N_e(h_0)$  затрудняли обработку ( $\Phi_{\text{пп}}(h_0)$  определялось по наименьшему значению  $N_e(h_0)$ ). Анализ данных ИСЗ "ИК-19" дополн-

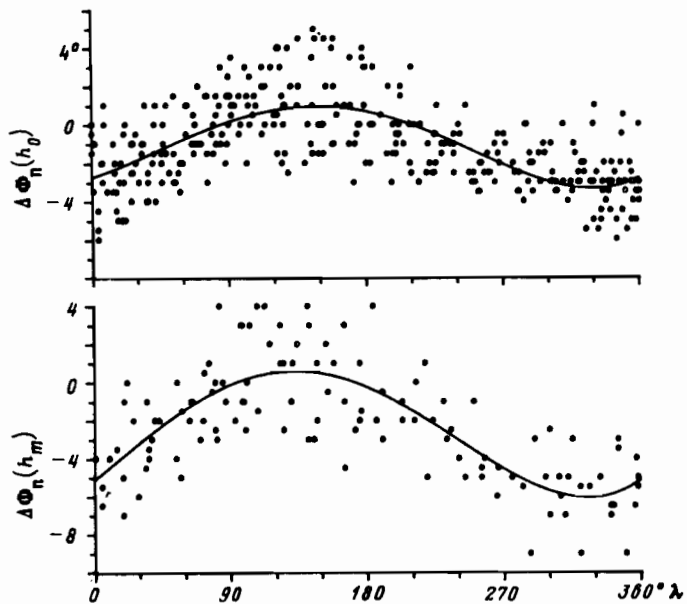


Рис. 1. Определенные по данным ИСЗ "Космос-900" и "ИК-19" для южного полушария и усредненные зависимости величин  $\Delta\Phi_n(h_0)$  и  $\Delta\Phi_n(h_m)$  от географической долготы  $\lambda$

нительно затруднен наличием  $F$ -рассеяния и большой дискретностью данных, которая на субавроральных широтах составляла  $2-4^\circ$ . Поэтому использовались данные о критической частоте  $f_0F2$  только для тех сеансов, где полярная стенка провала фиксировалась достаточно отчетливо. Отсчет  $\Phi_n(h_m)$  проводился по плавной кривой, проведенной через измеренные значения  $f_0F2$  для каждого витка. Типичные значения  $h_m$  в области ГИП для рассматриваемых условий около 350–400 км и, следовательно, разница  $h_0 - h_m \approx 50-100$  км.

Для удобства анализа ниже использованы величины  $\Delta\Phi_n(h_0) = \Phi_n(h_0) - \Phi_n^*$  и  $\Delta\Phi_n(h_m) = \Phi_n(h_m) - \Phi_n^*$ , где  $\Phi_n(h_0)$  или  $\Phi_n(h_m)$  – определенное по данным "Космос-900" или "ИК-19" положение минимума ГИП, которое соответствует определенным значениям  $K_p$ -индекса магнитной активности за предыдущие 3 ч, местному времени LT, отсчитываемому от полуночи, и географической долготе  $\lambda$ ;  $\Phi_n^*$  – полученная по данным ИСЗ "ESRO-4" в интервале 245–1177 км, т.е. в среднем вблизи 700 км. статистическая зависимость положения минимума ГИП от  $K_p$ -индекса и LT [4]:

$$\Phi_n^* = 65,2 - 2,1K_p - 0,5LT \pm 2^\circ. \quad (1)$$

Величины  $\Delta\Phi_n(h_0)$  и  $\Delta\Phi_n(h_m)$  описывают чисто долготные изменения положения минимума ГИП на соответствующих высотах, если соотношение (1) является точным, т.е. не имеет указанного разброса  $\pm 2^\circ$ , и, кроме того, характер и амплитуда долготных изменений не зависят от  $K_p$  и местного времени.

**Результаты наблюдений.** На рис. 1 показаны массивы данных (350 значений  $\Delta\Phi_n(h_0)$  и 120 значений  $\Delta\Phi_n(h_m)$ ) для южного полушария местной зимой в ночных условиях и усредненные зависимости  $\Delta\Phi_n(h_0)$  и  $\Delta\Phi_n(h_m)$  от географической долготы  $\lambda$ , полученные по этим данным. Эти зависимости можно представить в виде

$$\begin{aligned} \Phi_n(h_0) &= -1,1 - 2\cos(\lambda + 42) \pm 2, \\ \Phi_n(h_m) &= -2,6 - 3,3\cos(\lambda + 50) \pm 2, \end{aligned} \quad (2)$$

где все величины даны в градусах и указано стандартное отклонение.

Из рис. 1 видно, что разброс данных на фиксированных долготах значителен и сос-

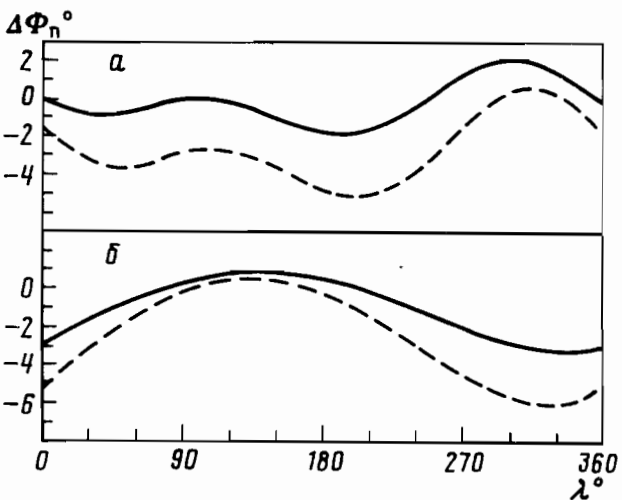


Рис. 2. Долготные вариации величин  $\Delta\Phi_n(h_0)$  (сплошные линии) и  $\Delta\Phi_n(h_m)$  (штриховые линии) в ночных условиях местной зимой для северного (а) и южного (б) полушарий

ставляет  $6-8^\circ$ . Тем не менее долготные изменения  $\Phi_n$  являются устойчивой характеристикой ионосферы в том смысле, что для каждого индивидуального сеанса измерений разница между  $\Delta\Phi_n(h_0)$  или  $\Delta\Phi_n(h_m)$  на долготах  $90-180^\circ\lambda$  и на  $300-360^\circ\lambda$  всегда положительна, хотя величина этой разницы может отличаться от сеанса к сеансу.

Для северного полушария местной зимой в ночных условиях разброс данных  $\Delta\Phi_n$  на фиксированных долготах, величина стандартного отклонения и устойчивость характера долготных изменений  $\Delta\Phi_n(h_0)$  и  $\Delta\Phi_n(h_m)$  практически совпадают с приведенными выше для южного полушария. Усредненные долготные изменения  $\Delta\Phi_n(h_0)$  и  $\Delta\Phi_n(h_m)$  для северного и южного полушарий в ночные часы местной зимой приведены на рис. 2. Апроксимация этих изменений для северного полушария:

$$\begin{aligned}\Delta\Phi_n(h_0) &= -0,2 + 1,2\cos(\lambda + 45) - 1,1\cos(2\lambda - 30) \pm 2, \\ \Delta\Phi_n(h_m) &= -2,6 + 1,9\cos(\lambda + 35) - 1,4\cos(2\lambda - 50) \pm 2,\end{aligned}\quad (3)$$

где использованы те же обозначения, что и при записи соотношений (2).

**Обсуждение.** Разброс данных  $\Delta\Phi_n$  на фиксированных долготах связан со многими причинами: неточностью в определении  $\Phi_n$  по экспериментальным данным; неточностью отношения (1) для  $\Phi_n^*$ ; принятым предположением о независимости амплитуды долготных изменений  $\Phi_n$  от  $K_p$ -индекса. Так, приведенная в [1] амплитуда долготных изменений  $\Phi_n(h_m)$  примерно через сутки после окончания бури в магнитном поле заметно выше, чем следует из усредненных данных на рис. 2. Тем не менее, как уже отмечалось выше, характер долготных изменений  $\Phi_n$  устойчив. Это следует и из усредненных данных на рис. 2 и соотношений (2) и (3). Они показывают, что основные гармоники и фазы долготных изменений  $\Delta\Phi_n(h_0)$  и  $\Delta\Phi_n(h_m)$ , полученные по двум независимым наборам данных и двумя разными способами, практически совпадают как для южного, так и для северного полушарий. Характер долготных изменений  $\Phi_n(h_m)$  слабо отличается и от приведенного ранее на основе нескольких сеансов в [2], где дано качественное обсуждение механизмов этих изменений, и поэтому этот вопрос не рассматривается.

Рассмотрим теперь некоторые отличия в долготных изменениях  $\Delta\Phi_n(h_0)$  и  $\Delta\Phi_n(h_m)$ . Из соотношений (2) и (3) и рис. 2 видно, что амплитуда долготных изменений минимума главного ионосферного провала на высоте  $h_m \approx 350-400$  км выше, чем на  $h_0 \approx 450$  км, примерно в 1,5 раза. Если усреднить данные на рис. 2 по всем долготам, то можно получить систематическое смещение ( $\overline{\Delta\Phi_n}(h_m)$  и  $\overline{\Delta\Phi_n}(h_0)$ ) положения минимума

ма главного ионосферного провала на высоте  $h_m = 350-400$  км и на высоте  $h_0 = 450$  км относительно минимума главного ионосферного провала  $\Phi_n^*$  на высоте около 700 км. Эти смещения описываются первыми членами правой части соотношений (2) и (3), которые слабо отличаются для северного и южного полушарий и в среднем  $\Delta\Phi_n(h_m) = -2,6$ ,  $\Delta\Phi_n(h_0) \approx 0,6$ . Следовательно, для ночных зимних условий положение минимума главного ионосферного провала с ростом высоты смещается к полюсу, т.е. к полярной стенке ГИП. Это смещение при переходе от  $h_m \approx 350-400$  км до  $h_0 \approx 450$  км в среднем около  $2^\circ$  и при переходе от  $h_0 = 450$  км до  $h \approx 700$  км около  $0,6^\circ$ . Это означает, что наиболее быстрое смещение с высотой минимума главного ионосферного провала к полюсу происходит сразу выше максимума F2-слоя в относительно узком интервале высот около 100 км. Из рис. 2 видно также, что смещение  $\Phi_n$  к полюсу при переходе от  $h_m$  к  $h = 450$  км наблюдается не только при усреднении по долготам, но и практически на всех долготах. Поэтому отмеченные закономерности изменения с высотой  $\Phi_n$  и амплитуды долготных изменений  $\Phi_n$  являются устойчивой характеристикой ионосферы. По-видимому, эти закономерности справедливы и для сильно отличающихся от типичных условий. Так, по данным внешнего зондирования с ИСЗ "ISIS-2" для ночных зимних условий, когда интервал между основаниями полярной и экваториальной стенки ГИП по  $f_0F2$  был необычайно большим и составлял 1 (для 18 декабря 1971 г. это, по-видимому, связано с предыдущей бурей в магнитном поле), было получено, что с ростом высоты основание экваториальной стенки провала смещается к полюсу и, следовательно, минимум главного ионосферного провала имеет тенденцию расположиться у полюсной границы этого провала [5].

**Выводы.** 1. Долготные изменения инвариантной широты минимума главного ионосферного провала  $\Phi_n(h)$  на высоте максимума F-слоя  $h = h_m = 350-400$  км и на фиксированной высоте  $h = h_0 = 450$  км являются устойчивой, т.е. регулярно наблюдаемой характеристикой ночной зимней ионосферы. Более того, основные гармоники и фазы долготных вариаций  $\Phi_n(h_m)$  и  $\Phi_n(h_0)$  практически совпадают.

2. Амплитуда долготных изменений  $\Phi_n(h_m)$  примерно в 1,5 раза выше, чем  $\Phi_n(h_0)$ , т.е. амплитуда долготных изменений  $\Phi_n(h)$  уменьшается с ростом высоты.

3. Практически на всех долготах сразу выше максимума F2-слоя в относительно узком интервале высот около 100 км происходит наиболее быстрое смещение  $\Phi_n(h)$  к полюсу с ростом высоты. Среднее значение  $\Phi_n(h_m) - \Phi_n(h_0) = -2^\circ$ .

#### СПИСОК ЛИТЕРАТУРЫ

1. Tulunay Y. // J. Atmos. Terr. Phys. 1973. V. 35. P. 233.
2. Деминов М.Г., Карпачев А.Т. // Геомагнетизм и аэрономия. 1986. Т. 26. С. 63.
3. Афонин В.В., Бенькова Н.П., Зикрач Э.К. и др. // Геомагнетизм и аэрономия. 1988. Т. 28. С. 311.
4. Kohnlein W., Raith W.J. // Planet. Space Sci. 1977. V. 25. P. 600.
5. Mendillo M., Chacko C.C. // J. Geophys. Res. 1977. V. 82. P. 5129.

Институт космических исследований АН СССР

Поступила в редакцию

31.07.91

Институт земного магнетизма, ионосфера и распространения радиоволн АН СССР

Арктический и антарктический научно-исследовательский институт

Институт космофизических исследований и аэрономии Якутского филиала СО АН СССР

Геофизический институт ЧС АН